

## Manipulateurs Festo

- Q1 •  $P_2$  arrêté       $\rightarrow$  La distance  $\overline{DA}$  augmente.  
 $P_1$  tourne de  $\Delta\theta_1 > 0$

On a directement :

$$(1) \quad \Delta l_{nx_1} + \Delta l_{ny_1} = R_p \cdot \Delta\theta_1$$

- $P_1$  arrêté       $\rightarrow$  La distance  $\overline{Li}$  diminue.  
 $P_2$  tourne de  $\Delta\theta_2 > 0$

On a directement :

$$(2) \quad \Delta l_{nx_2} + \Delta l_{ny_2} = -R_p \cdot \Delta\theta_2$$

Q2       $\Delta l_{nx_1} + \Delta l_{nx_3} = 0$

$$\Delta l_{ny_1} + \Delta l_{ny_2} = 0$$

$$\Delta l_{nx_1} = \Delta l_{nx_2}$$

$$\Delta l_{nx_3} = \Delta l_{nx_4}$$

Q3      (1) + (2) donne  $\underbrace{\Delta l_{nx_1} + \Delta l_{nx_2}}_{\Delta l_{nx_2}} + \cancel{\Delta l_{ny_1} + \Delta l_{ny_2}} = R_p \cdot (\Delta\theta_1 - \Delta\theta_2)$

Donc  $\Delta l_{nx_2} = \frac{R_p}{2} \cdot (\Delta\theta_1 - \Delta\theta_2)$

$$(2) - (1) \text{ donne } \cancel{\Delta l_{x_2} + \Delta l_{y_2}} - \cancel{\Delta l_{x_1} - \Delta l_{y_1}} = - R_p \cdot (\Delta \theta_1 + \Delta \theta_2)$$

Donc  $\Delta l_{y_2} = - \frac{R_p}{2} \cdot (\Delta \theta_1 + \Delta \theta_2)$

Q4  $\Rightarrow \Delta l_{x_2} + \Delta l_{y_2} = - R_p \cdot \Delta \theta_2$

donc  $\Delta \theta_2 = - \frac{\Delta l_{x_2} + \Delta l_{y_2}}{R_p}$

$\Rightarrow \Delta l_{x_2} - \Delta l_{y_2} = R_p \cdot \Delta \theta_1$

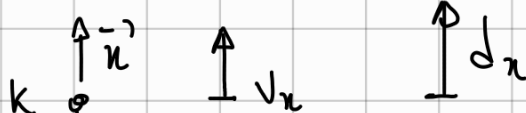
donc  $\Delta \theta_1 = \frac{\Delta l_{x_2} - \Delta l_{y_2}}{R_p}$

Q5  $\Delta l_{x_2} > 0$  et  $\Delta l_{y_2} = 0$  donc

$$\Delta \theta_2 = - \frac{\Delta l_{x_2}}{R_p} < 0 : \text{rotation sens horaire}$$

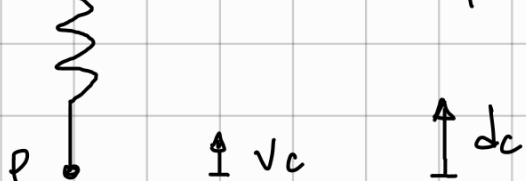
et  $\Delta \theta_1 = \frac{\Delta l_{x_2}}{R_p} > 0 : \text{rotation sens trig}$

Q6  $J_c = R_p \cdot \omega_m$  : 



(vitesse) (déplacement)

Je sais que la



force de rappel du report

s'écrit :

$$F_{\text{courroie} \rightarrow E} = - k_{\text{eq}} \cdot (\dot{d}_x - \dot{d}_c) = t_c$$

Vérif :  $t_c = 0$  si  $\dot{d}_c = \dot{d}_x$

$t_c < 0$  si  $\dot{d}_c < \dot{d}_x$

$$= - k_{\text{eq}} \cdot \int_0^t (\dot{v}_x(t') - \dot{v}_c(t')) dt'$$

donc  $T_c(p) = - \frac{k_{\text{eq}}}{p} \cdot [v_x(p) - v_c(p)]$

$$T_c(p) = \boxed{\frac{k_{\text{eq}}}{p}} \cdot [v_c(p) - v_x(p)]$$

= B\_4

Q8 J'isole  $E$  soumis aux actions mécaniques extérieures :

- courroie  $\rightarrow E$
- pdp  $\rightarrow E$
- O  $\rightarrow E$  X

J'écris le th. des résultantes en projection sur  $\vec{n}$ :

$$\underbrace{\vec{R}_{\text{courroie} \rightarrow E} \cdot \vec{n}}_{t_c} + \underbrace{\vec{R}_{\text{pdp} \rightarrow E} \cdot \vec{n}}_0 + \underbrace{\vec{R}_{O \rightarrow E} \cdot \vec{n}}_{-f_2 \cdot v_x} = \underbrace{\vec{R}_{E/O}}_{\Pi t \cdot \overset{\circ}{v}_x}$$

$$\text{Donc : } t_c = M_t \cdot v_n + f_2 \cdot v_n$$

Et dans le domaine de Laplace :

$$T_c(p) = (f_2 + M_t \cdot p) \cdot J_n(p)$$

$$\text{Donc : } \frac{J_n(p)}{T_c(p)} = \frac{1}{f_2 + M_t \cdot p} = B_5$$

Q9 J'isole maintenant  $\{PM, RN\}$  soumis aux actions méca. extérieures :

- poids  $\rightarrow \{PM, RN\}$
- stator  $\rightarrow RN$
- courroie  $\rightarrow PM$
- 0  $\rightarrow PM$

J'écris le th. des moments en D et le projecte sur  $\vec{z}$ :

$$\underbrace{\overrightarrow{M}_{b,pds} \rightarrow \{PM, RN\} \cdot \vec{z}}_{C_m} + \overrightarrow{M}_{D,stator \rightarrow RN} \cdot \vec{z} + \overrightarrow{M}_{D,courroie \rightarrow PM} \cdot \vec{z} + \overbrace{\overrightarrow{M}_{b,0} \rightarrow PM \cdot \vec{z}}^{\sim} - f_1 \cdot \omega_m$$

$$= 0 \text{ car } \overrightarrow{R_{pds}} \rightarrow \{PM, RN\} = \dots \cdot \vec{z}$$

$$= \underbrace{\overrightarrow{\delta}_{D, \{PM, RN\}} \cdot \vec{z}}_{J_R \cdot \omega_m}$$

$$\text{Et } \overrightarrow{M}_{D,courroie \rightarrow PM} \cdot \vec{z} = \cancel{\overrightarrow{M}_{P,courroie \rightarrow PM} \cdot \vec{z}} + (\overrightarrow{DP} \wedge (-t_c \cdot \vec{z})) \cdot \vec{z} = -R_p \cdot t_c$$

$$\text{On a donc: } C_m - R_p \cdot T_c - f_1 \cdot w_m = J_R \cdot \ddot{\omega}_m$$

Dans le domaine de la place:

$$C_m(p) - R_p \cdot T_c(p) = (f_1 + J_R \cdot p) \cdot \Delta \theta_m(p)$$

Donc:

$$\Delta \theta_m(p) = \frac{1}{f_1 + J_R \cdot p} \cdot (C_m(p) - R_p \cdot T_c(p)) \\ = B_1 \\ = B_3$$

Q.W

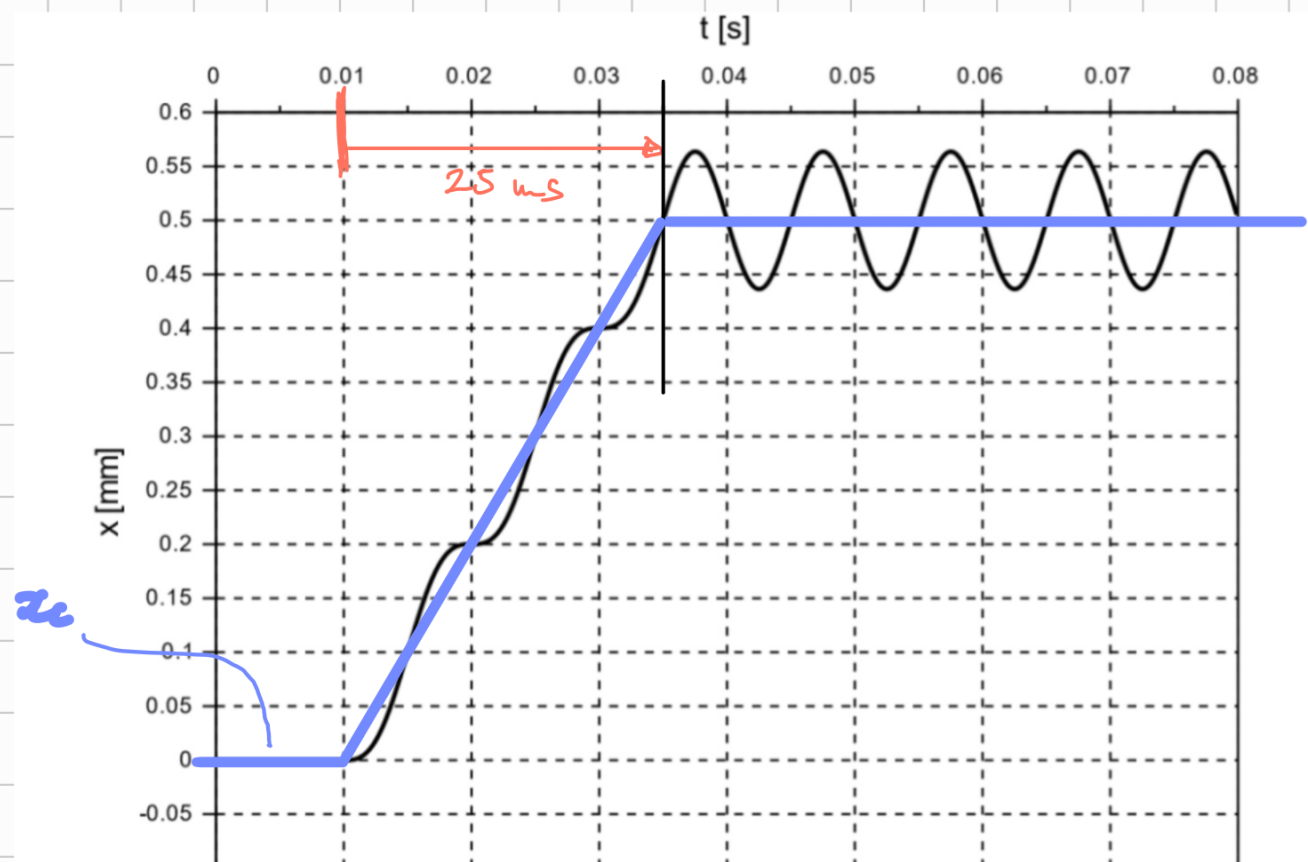


Figure 9 : déplacement (mm) de l'ensemble E après une rampe de position de 0,1 rad d'une durée de 25 ms et retardée de 0,01 s, appliquée à la poulie motrice

Et on sait que  $\Delta x_c = R_p \cdot \Delta \theta_m$  donc  $\frac{\Delta x_c}{0,5 \text{ mm}} = \frac{R_p \cdot \Delta \theta_m}{0,1 \text{ rad}}$

On en déduit donc  $R_p \approx 5 \text{ mm}$ .

Q11) les oscillations liées à l'élasticité de la corseie pourraient influencer la stabilité de l'asservissement.

Q12) On a :

$$\frac{J_n(p)}{\Delta_m(p)} = R_p \cdot \frac{\frac{K_{eq}}{p} \cdot \frac{1}{f_2 + \pi t \cdot p}}{1 + \frac{K_{eq}}{p} \cdot \frac{1}{f_2 + \pi t \cdot p}}$$

$$= \frac{R_p \cdot K_{eq}}{K_{eq} + f_2 \cdot p + M_t \cdot p^2}$$

$$\frac{J_n(p)}{\Delta_m(p)} = \frac{R_p}{1 + \frac{f_2}{K_{eq}} \cdot p + \frac{M_t}{K_{eq}} \cdot p^2}$$

J'identifie :  $\omega_0 = \sqrt{\frac{K_{eq}}{M_t}}$  et  $\xi = \frac{1}{2} \cdot \frac{f_2}{K_{eq}} \cdot \sqrt{\frac{K_{eq}}{M_t}}$

$$\xi = \frac{1}{2} \cdot \frac{f_2}{\sqrt{M_t \cdot K_{eq}}}$$

Je remarque qu'il n'y a quasi-aucune atténuation donc  $\xi \approx 0$ .

Je propose donc  $f_2 \approx 0$ .

Je relève la pseudo-période  $T \approx 0,01 \text{ s}$  et je sais que,

si  $\xi = 0$  :

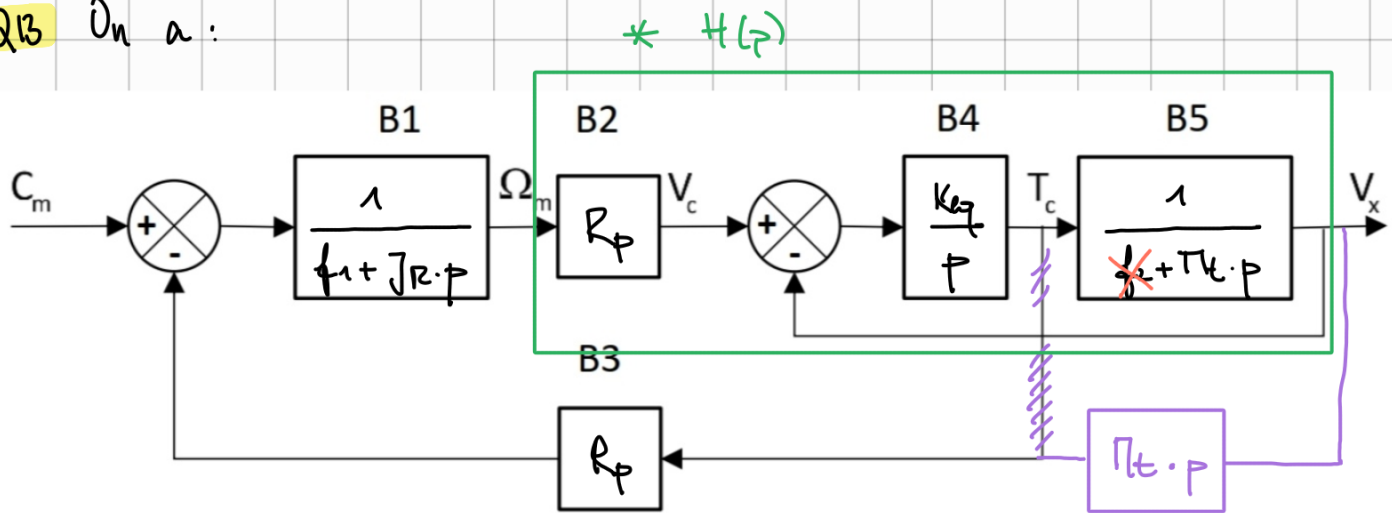
$$\omega_0 = \frac{2\pi}{T}$$

$$J_{\text{osc}} \sqrt{\frac{K_{\text{eq}}}{\pi t}} = \frac{2\pi}{T}$$

$$J_{\text{osc}} K_{\text{eq}} = \frac{4\pi^2}{T^2} \cdot M_t$$

$$K_{\text{eq}} \approx 395 \cdot 10^3 \text{ N/m}$$

Q3 On a:



$$\frac{J_m(p)}{C_m(p)} = \frac{R_p}{1 + \frac{f_2 - T_k \cdot p}{K_{\text{eq}}} + \frac{\pi t}{K_{\text{eq}}} \cdot p^2} = H(p)$$

$$\frac{J_x(p)}{C_m(p)} = \frac{\frac{1}{f_1 + J_R \cdot p} \cdot \frac{R_p}{1 + \frac{\pi t}{K_{\text{eq}}} \cdot p^2}}{1 + \frac{1}{f_1 + J_R \cdot p} \cdot \frac{R_p}{1 + \frac{\pi t}{K_{\text{eq}}} \cdot p^2} \cdot R_p \cdot \pi t \cdot p}$$

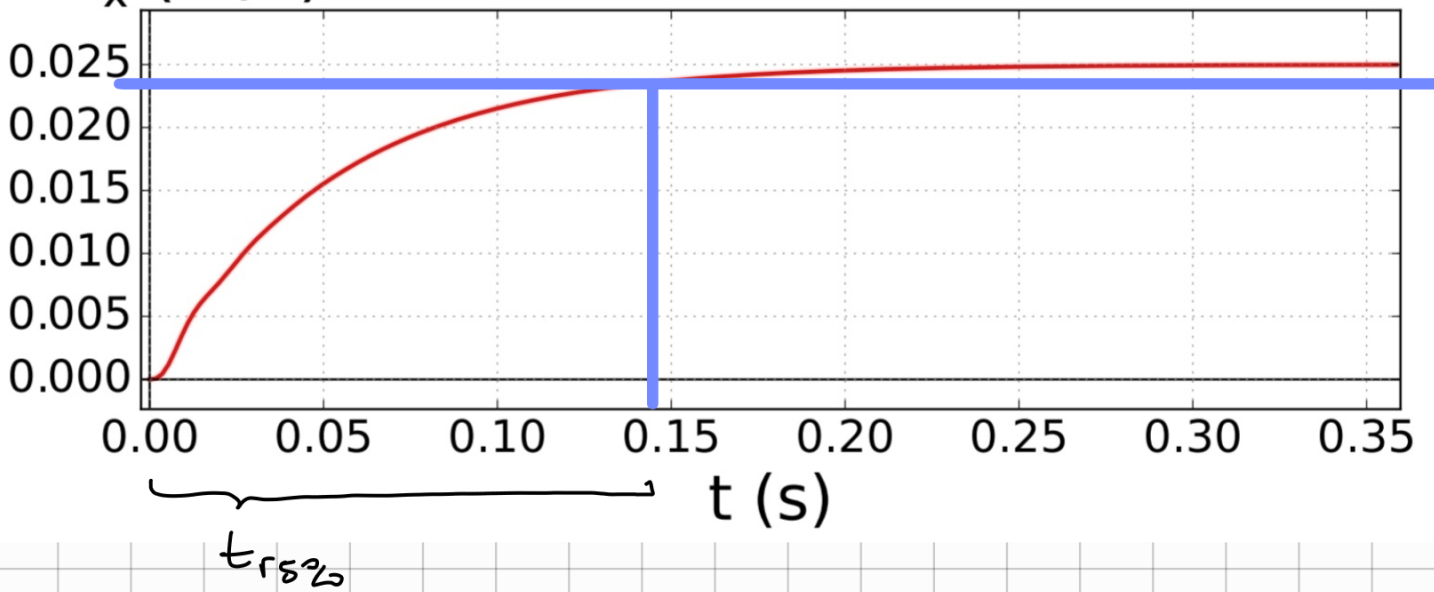
$$= \frac{R_p}{R_p^2 \cdot \pi t \cdot p + f_1 + f_1 \cdot \frac{\pi t}{K_{\text{eq}}} \cdot p^2 + J_R \cdot p + J_R \cdot \frac{\pi t}{K_{\text{eq}}} \cdot p^3}$$

$$\frac{J_x(p)}{C_m(p)} = \frac{\frac{R_p}{f_1}}{1 + \frac{J_R + M_t \cdot R_p^2}{f_1} \cdot p + \frac{M_t}{K_{\text{eq}}} \cdot p^2 + \frac{J_R \cdot \pi t}{f_1 \cdot K_{\text{eq}}} \cdot p^3}$$

Q14 On a donc:  $\frac{\sqrt{v}(p)}{C_{m0}(p)} = \frac{K}{1 + I_s \cdot p}$

- Je sais que  $t_{5\%} = 3 \cdot I_s$  et  $t_{5\%} \approx 0,145 \text{ s}$   
donc  $I_s \approx 0,048 \text{ s}$

$V_x (\text{m/s})$



- Je sais que  $\lim_{t \rightarrow +\infty} \sqrt{v}(t) = v_f = K \cdot \underbrace{C_{m0}}_{\text{échelon de couple de } 1,7 \text{ N.m}}$   
avec  $v_f \approx 0,025 \text{ m/s}$

donc  $K = \frac{v_f}{C_{m0}} \approx 0,0147 \text{ (m/s)/(N.m)}$

Finalement, en prenant en compte l'ensemble du mécanisme, il n'est pas nécessaire de prendre en compte l'élasticité de la courroie puisque:  $\frac{M_t}{K_{eq}} \approx 0$  et  $\frac{J_R \cdot \Pi_t}{f_1 \cdot K_{eq}} \approx 0$  compte-tenu de la bonne modélisation avec un ordre 1. Cela signifie bien que  $K_{eq}$  est très grand (courroie inextensible).